

酸化チタン光触媒をコーティングした拡散スクラバーとイオンクロマトグラフとを組み合わせた窒素酸化物の自動連続測定装置の開発

田中 茂^{*}、駒崎雄一^{*}、清水弘樹^{*}、
伊藤昌之助^{**}、猪俣 保^{***}

^{*}慶應義塾大学理工学部応用化学科環境化学研究室
横浜市港北区日吉3-14-1

^{**}横河電機アナリティカルシステムズ(株)
武藏野市中町2-9-32

^{***}電気化学計器㈱
武藏野市吉祥寺北町4-13-14

概要

酸化チタン(TiO_2)光触媒と二酸化窒素(NO_2)の吸着力に優れたヒドロキシアパタイト($Ca_{10}(PO_4)_6(OH)_2$ 、 HAp と称す)を塗布した拡散スクラバーを用いて、窒素酸化物(NO_x)の新たな捕集法を開発した。 NO_x は光触媒作用により TiO_2/HAp の表面上に HN_0_2 及び HN_0_3 として捕集される。捕集された HN_0_2 、 HN_0_3 は純水を注入することにより NO_2^- 、 NO_3^- イオンとして回収され、これらのイオンをイオンクロマトグラフィーで定量する。本法は捕集装置としての拡散スクラバーと分析装置としてのイオンクロマトグラフとの組み合わせにより、 NO_x の自動連続測定が可能である他、紫外線照射の有無により NO と NO_2 とを分別して捕集することも可能である。

キーワード

窒素酸化物、酸化チタン光触媒、拡散スクラバー、ヒドロキシアパタイト、
イオンクロマトグラフ、自動連続測定

1 はじめに

様々な種類の有害物質が氾濫する現代社会において、環境中の有害物質を的確にモニタリングすることは、計測技術分野における重要な研究課題である。現在、煙道排ガス中の NO_x については、大気汚染防止法によりJIS(K104)に準拠した測定が義務づけられている。しかしながら、化学分析法として定められている亜鉛還元ナフチルアミン吸光光度法(Zn-NEDA)およびフェノールジスルホン酸吸光光度法(PDS)は非常に煩雑で長時間の操作を必要とする。そこで、簡便で定量性に優れたイオンクロマトグラフィーのJIS化が検討されている。一方、 NO_x の捕集法に関しては、20~30年来大きな変更は行われていない。煙道における NO_x の主成分は NO であり、 NO の水への溶解性は極めて小さい。そこで、 NO_x を捕集する際には、試料ガスをフラスコまたは注射筒で採取した後、 O_2 あるいは O_3 を添加して NO_x を HN_0_3 に酸化し、硫酸や過酸化水素の水溶液で吸収する。この様に2段階の捕集プロセスを必要とし、 O_3 発生装置等のユーティリティも必要となる。また、簡易捕集法としてトリエタノールアミン法が知られているが NO の捕集はできない。

そこで、本研究では、 TiO_2 光触媒と HAp を塗布した拡散スクラバーを用いた NO_x の簡便かつ迅速な捕集法の確立と、イオンクロマト分析とを組み合わせた NO_x の新たな測定法について検討を行った¹⁾。

2 TiO_2 と HAp を塗布した拡散スクラバーとイオンクロマトによる NO_x の新たな測定法

2.1 NO_x の測定原理

Fig. 1に示すように、UVを照射した TiO_2 と HAp の表面に導入された NO は TiO_2 の光触媒作用を受け、瞬時に NO_2 に酸化されて HAp に捕集される。更に、 HAp 上の NO_2 は HN_0_2 、 HN_0_3 へと酸化される。また、 HAp に捕集された HN_0_2 、 HN_0_3 は、水抽出により NO_2^- 、 NO_3^- イオンとして容易に回収される。これらのイオンをイオンクロマトグラフィーで定量することにより NO_x が測定される。抽出を終えた TiO_2 光触媒と HAp の活性は清浄空気で乾燥することにより完全に回復し、 NO_x の繰り返し捕集が可能である。

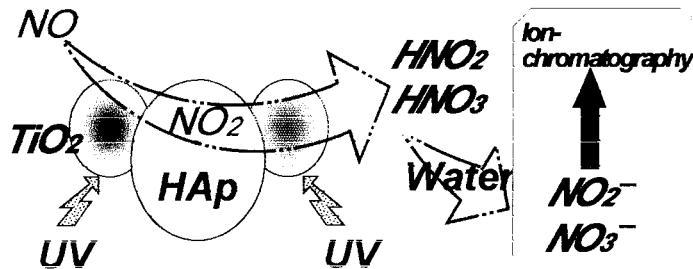


Fig.1 Schematic diagram of NO_x sampling with TiO_2 photocatalyst and hydroxyapatite, and NO_x measurement by ion chromatography

2.2 TiO_2 とHApをコーティングした拡散スクラバー

NO_x捕集用に開発した拡散スクラバーの概略をFig. 1に示す。拡散スクラバーは、内壁に TiO_2 光触媒とHApを塗布したパイレックスガラス製外管、その内側の石英製内管、および中心部に挿入したUVランプ(National製殺菌灯GL-8)により構成される。使用した TiO_2 はアナーベゼ型の結晶構造をとるもので、その平均粒径は $0.1\mu m$ 、比表面積は $21m^2/g$ である。また、HApの平均粒径は $10\mu m$ 、比表面積は $60m^2/g$ のものを使用した。これら TiO_2 およびHApは4フッ化エチレン(テフロン)をバインダーとしてガラス管の内壁に塗布した(信州セラミックス(株))。 TiO_2 、HApの構成比は1:1とした。拡散スクラバーの仕様をTable 1に示す。

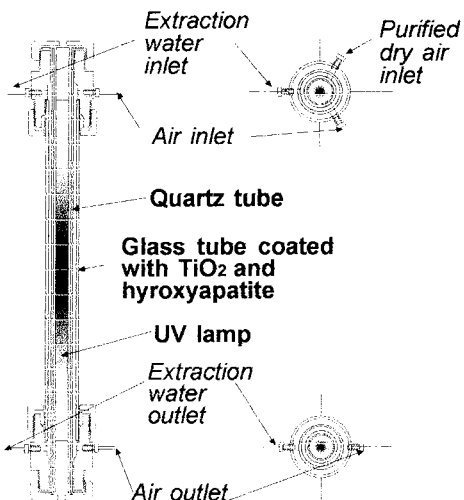


Fig.2 Schematic diagram of a diffusion scrubber coated with TiO_2 and HAp for NO_x sampling

2.3 NO_xの捕集効率と回収率

NO/N_2 、 NO_2/Air の標準ガスを乾燥空気で希釈して試料ガスを調製した。流速 $0.1 \sim 10 L/min$ で試料ガスを拡散スクラバーに通気し、出口ガス中のNO_x濃度をCLD-NO_xメータ(電気化学計器㈱GLN-32)で計測し、拡散スクラバーによるNO_xの捕集効率を測定した。Fig. 4に通気流速と拡散スクラバーによるNO_xの捕集効率との関係を示した。その結果、 $2L/min$ 以下の流速において、 NO 、 NO_2 をほぼ100%の効率で捕集できることがわかった。また、拡散スクラバーによるNO_xの捕集に及ぼす湿度(R.H. 25~82%)の影響はほとんど認められなかった。次に、 NO を捕集した拡散スクラバーに純水 $10mL$ を注入し、抽出溶液中の NO_2 および

Table 1 拡散スクラバーの仕様

塗布剤	: $TiO_2/HAp(1:1)$
外管材質	: パイレックスガラス
内径	: $21 [mm\phi]$
内管材質	: 石英
外径	: $19.5 [mm\phi]$
有効長	: $25 [cm]$
抽出液	: 純水
液量	: $15 [mL]$
UVランプ	: National GL-8, 254[nm]
出力	: $8 [W]$

NO_3^- をイオンクロマト分析(横河アリティカルシステムズ IC-7000P)して NO_x の回収率を検討した。Fig.5に抽出時間と回収率との関係を示した。その結果、拡散スクラバー内に抽出水を約10分間保持すれば、ほぼ100%に相当する NO が NO_2^- 及び NO_3^- として回収されることがわかった。

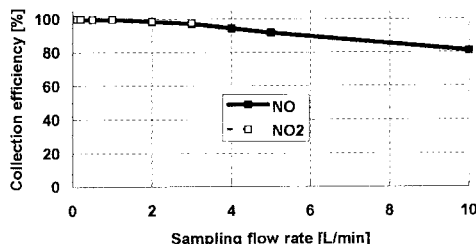


Fig.3 Collection efficiencies of NO and NO_2 by using a diffusion scrubber as a function of the sampling flow rate

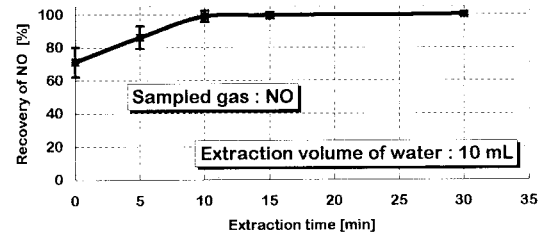


Fig.4 Recovery rate of NO as a function of the extraction time.
NO was recovered as forms of NO_2^- and NO_3^-

4. 拡散スクラバーとイオンクロマトグラフとを組み合わせた自動連続測定装置

本測定装置の概略をFig. 1に示す。本装置は、①光触媒を塗布した拡散スクラバーによる排ガス捕集部、②抽出液の分析を行うイオンクロマトグラフ(横河アリティカルシステムズ IC7000P)、データ処理を行うワークステーション(WS700)から構成される。拡散スクラバーで捕集された NO_x は、純水により NO_2^- 、 NO_3^- として抽出され、光ファイバーセンサーで10mLに定容され、オートインジェクターを介してイオンクロマトグラフ(試料注入量50 μl)に導入される。また、抽出操作後、乾燥清浄空気を用いて光触媒の活性回復を行う。これら排ガス捕集から試料の分析に至る一連の操作は、シーケンサー(横河電機μFA20)で制御される。

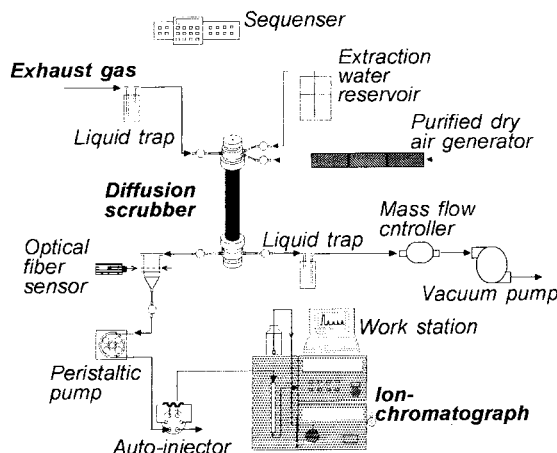
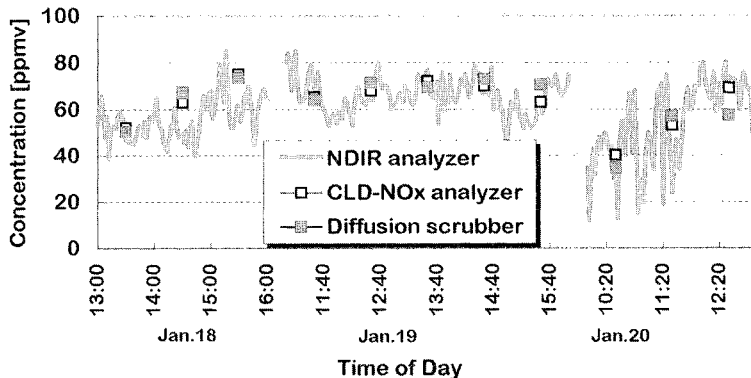


Fig.5 Automated measurement system for NO_x by using a diffusion scrubber coated with TiO_2 and hydroxyapatite coupled to ion chromatograph.

4 煙道排ガス中の NO_x 測定

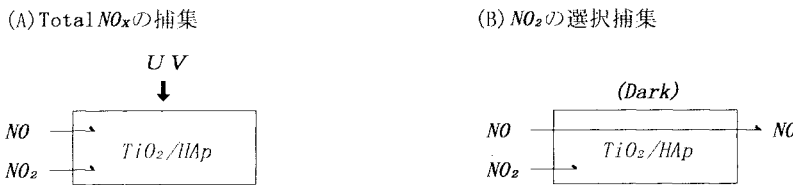
本研究で開発した拡散スクラバーとイオンクロマトグラフとを組み合わせた自動連続測定装置を用いて、都市ゴミ焼却場のアルカリ湿式処理装置の後の煙道において NO_x のモニタリングを行った。約50倍に希釈した排ガスを吸引流速0.2L/minで30分間捕集し、1時間間隔で測定した。その結果、ゴミ焼却場の煙道における NO_x 濃度は34.5~77.1ppm (Av. 63.1ppm, N=13)であった。そして、本法と化学発光法を用いた NO_x 計(電気化学計器(株)GLN-32)並びに非分散赤外線吸収法(NDIR)による自動計測装置とのクロスチェックを行った結果、3者による NO_x の測定値は良好な一致が認められた。従って、煙道排ガス中の NO_x 測定において、本法が充分に有効であると考えられる。

更に、本法による NO_x の検出限界は数ppbと低く、従来の自動計測装置では検出限界以下とされていた濃度レベルについても充分測定が可能であるとともに、JIS法の化学分析において問題であった操作性の向上と測定時間の短縮を図ることが可能である。

Fig. 6 NO_x concentration in flue gas from municipal incinerator

5 NOとNO₂の分別捕集

本研究で開発した拡散スクラバーは、NOとNO₂の分別捕集ができることがわかった。その概念をFig. 7に示す。UVを照射した場合、TiO₂の光触媒作用によりNOとNO₂の両者が捕集される(Table 2)。しかしながら、UVを照射しない場合には、HApの機能によりNO₂のみが捕集される(Table 3)。従って、拡散スクラバーを2本直列に接続し、2本目の拡散スクラバーのみUVランプを点灯させることにより、1本目でNO₂を2本目でNOを捕集することができる。

Fig. 7 NOとNO₂の分別定量概念Table 2 Collection of NO with/without UV illumination, by a diffusion scrubber coated with TiO₂ and hydroxyapatite.

Sample gas (ppm)	Collected gas (ppm)	
	UV	Dark
2.54	2.53	N. D.
2.54	2.54	N. D.
2.54	2.53	N. D.

Sampling flow rate 0.2 ℥/min
Sampling time : 30min

Table 3 Collection of NO₂ with/without UV illumination, by a diffusion scrubber coated with TiO₂ and hydroxyapatite.

Sample gas (ppm)	Collected gas (ppm)	
	UV	Dark
2.32	2.31	2.19
2.27	2.26	2.21
2.98	2.97	2.90
2.90	2.89	2.82

Sampling flow rate 0.2 ℥/min
Sampling time : 30min

1) 10th World Clean Air Congress, A-033 (1995)

2) 環境と測定技術, 13-23(1994)